

**МИНИСТЕРСТВО НАУКИ И ВЫСШЕГО ОБРАЗОВАНИЯ
РОССИЙСКОЙ ФЕДЕРАЦИИ**

Федеральное государственное бюджетное учреждение науки
Институт геохимии и аналитической химии им. В.И.Вернадского РАН
(ГЕОХИ РАН)

Федеральное государственное бюджетное учреждение науки
Институт физики Земли им. О.Ю.Шмидта (ИФЗ РАН)

Федеральное государственное бюджетное учреждение науки
Институт геологии рудных месторождений, петрографии,
минералогии и геохимии РАН (ИГЕМ РАН)

Петрофизическая комиссия Межведомственного
Петрографического комитета при Отделении Наук о Земле РАН

**ДВАДЦАТАЯ МЕЖДУНАРОДНАЯ КОНФЕРЕНЦИЯ
"ФИЗИКО-ХИМИЧЕСКИЕ И ПЕТРОФИЗИЧЕСКИЕ
ИССЛЕДОВАНИЯ В НАУКАХ О ЗЕМЛЕ"**

Москва, 23 - 25, Борок, 27 сентября 2019 г.

МАТЕРИАЛЫ КОНФЕРЕНЦИИ

Москва
2019

**МИНИСТЕРСТВО НАУКИ И ВЫСШЕГО ОБРАЗОВАНИЯ
РОССИЙСКОЙ ФЕДЕРАЦИИ**

Федеральное государственное бюджетное учреждение науки
Институт геохимии и аналитической химии им. В.И.Вернадского РАН
(ГЕОХИ РАН)

Федеральное государственное бюджетное учреждение науки
Институт физики Земли им. О.Ю.Шмидта (ИФЗ РАН)

Федеральное государственное бюджетное учреждение науки
Институт геологии рудных месторождений, петрографии,
минералогии и геохимии РАН (ИГЕМ РАН)

Петрофизическая комиссия Межведомственного
Петрографического комитета при Отделении Наук о Земле РАН

**ДВАДЦАТАЯ МЕЖДУНАРОДНАЯ КОНФЕРЕНЦИЯ
"ФИЗИКО-ХИМИЧЕСКИЕ И ПЕТРОФИЗИЧЕСКИЕ
ИССЛЕДОВАНИЯ В НАУКАХ О ЗЕМЛЕ"**

Москва, 23 - 25, Борок, 27 сентября 2019 г.

МАТЕРИАЛЫ КОНФЕРЕНЦИИ

Москва
2019

ВАЛЕНТНОСТЬ ВОЛЬФРАМА В ГИДРОТЕРМАЛЬНЫХ РАСТВОРАХ ПО ЭКСПЕРИМЕНТАЛЬНЫМ И РАСЧЕТНЫМ ДАННЫМ

Редькин А.Ф.

Институт экспериментальной минералогии (ИЭМ) РАН,
Черноголовка, redkin@iem.ac.ru

В решении вопроса о поведении и условиях отложения руд на гидротермальных месторождениях важная роль отводится растворимости рудных минералов и формам существования рудных компонентов в равновесных с ними растворах. Основным компонентом гидротермального флюида на вольфрамитовых месторождениях в грейзенах являются хлориды щелочных металлов, концентрации которых варьируют в широких пределах от 0 до 60 мас. % [Wood, Samson, 2000]. В этих растворах, согласно мнению различных исследователей, вольфрам мог существовать в виде вольфрамовой кислоты $H_2WO_4^0$, продуктов ее диссоциации HWO_4^- , WO_4^{2-} и полимеризации $W_4O_{13}^{2-}$, $H_7(WO_4)_6^{5-}$, $H_{10}(WO_4)_6^{2-}$, ассоциации с ионами щелочных металлов $NaHWO_4^0$, хлором $WO_2Cl_2^0$ и смешанные формы типа HWO_3Cl^0 , $NaWO_3Cl^0$. Выявление реальных форм, как правило, невозможно, поскольку существующих экспериментальных данных для этого недостаточно. Поэтому, актуальность исследований комплексообразования W в гидротермальных системах в связи с проблемой транспорта и отложения минералов вольфрама стоит все также остро.

Для описания растворимости W-содержащих минералов при высоких $T-P$ параметрах имеются взаимосогласованные термодинамические данные (константы равновесия и свободные энергии Гиббса) только для 5 частиц W(VI): $H_2WO_4^0$, HWO_4^- , WO_4^{2-} , $NaHWO_4^0$ и $NaWO_4^-$ [Wood, Samson, 2000]. Для частиц $KHWO_4^0$ и KWO_4^- проведена оценка констант образования. Полностью отсутствуют данные о частичах и комплексах W(V), хотя в экспериментах по растворимости WO_3 и $(Fe,Mn)WO_4$ в растворах NaCl происходило образование вольфрамовых синей с переменным содержанием W(VI)/W(V). Эти соединения по составу и рентгеновским данным соответствовали натрий вольфрамовым бронзам, Na_xWO_3 , где $x=0.1-0.4$, и образовывались уже при fO_2 соответствующем $Fe_2O_3-Fe_3O_4$ кислородному буферу [Redkin, 2000]. Влияние fO_2 на растворимость вольфрамита и его крайних членов ферберита ($FeWO_4$) и гюбнерита ($MnWO_4$) не рассматривалась.

При определении состава комплексов W нами был использован метод численного моделирования (программа OptimA [Shvarov, 2015] равновесия ассоциации $Mic+Ms+Qtz+Ferb$ с раствором KCl-HCl-H₂O при 400-500 °C и 1 кбар в открытой системе при fO_2 ,

соответствующей Ni-NiO (NNO) и Fe₂O₃-Fe₃O₄ (Нем-Mgt) буферам. За основу были приняты экспериментальные данные, полученные нами ранее [Редькин, Сайгэн, 2001].

Для согласования расчетных и экспериментальных данных конгруэнтной и инконгруэнтной растворимости ферберита, с образованием калий вольфрамовой бронзы (PTB-02), нами были рассмотрены более 15 частиц W(V) содержащих от 1 до 3 атомов вольфрама и имеющими заряд от +1 до -3, а также 5 анионных частиц с зарядом от -1 до -3, содержащие одновременно W(V) и 20-66 моль % W(VI). Мы опустили из рассмотрения частицы KHWO₄⁰ и KWO₄⁻, предложенные в работе [Wood, Samson, 2000], которые по результатам расчетов вносили доминантный вклад в растворимость ферберита в крепких растворах KCl, но не отражали влияние $f\text{O}_2$.

Величина конгруэнтной растворимости ферберита в растворе хлорида калия, при кислотности заданной буфером Mic-Ms-Qtz, рассчитана по уравнению

$$m\text{FeWO}_4 = \sqrt{(mW_{\text{total}} \times m\text{Fe}_{\text{total}})} \quad (1),$$

представляющим собой средне геометрическую величину концентраций вольфрама и железа. На рисунке 1 символами представлены величины растворимости ферберита, рассчитанные по уравнению 1 для NNO и Hem-Mgt буферов. За величину ошибки определения $m\text{FeWO}_4$ приняты крайние величины концентраций W_{total} и Fe_{total}.

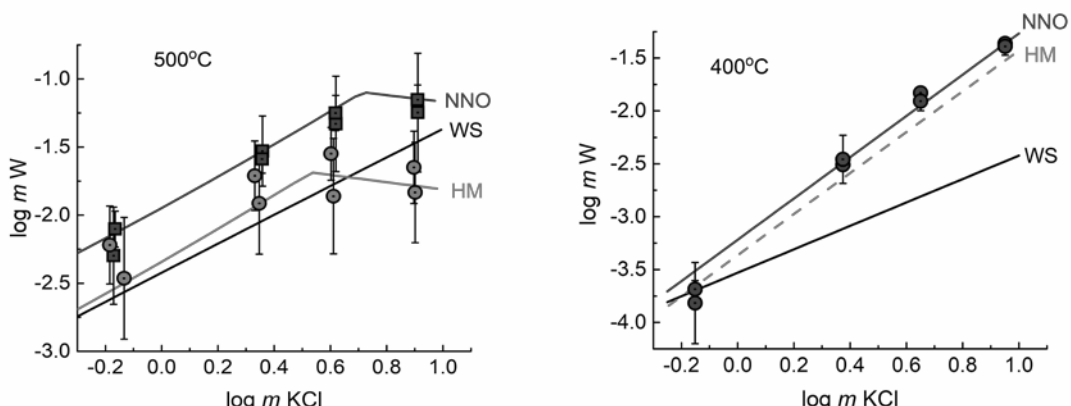


Рис. 1. Влияние $m\text{KCl}$ на содержание $m\text{W}$ в растворе, равновесном с ферберитом в условиях, контролируемых кварц-микроклин-мусковитовым буфером, при фугитивности кислорода заданной никель-бунзенитовым (NNO) и гематит-магнетитовым (HM) буферами при 500 и 400 °C, 100 МПа по экспериментальным (символы) и расчетным (линии) данным. Линия WS – расчеты по данным [Wood, Sampson, 2000].

Наилучшее согласие экспериментальных и расчетных данных при 500 °С и 1000 бар было достигнуто для двух нововведенных частиц: WO_3^- (или $\text{H}_2\text{W}^{\text{V}}\text{O}_4^-$) и $\text{H}_2\text{W}_2\text{O}_7^-$ ($\text{H}_2\text{W}^{\text{V}}\text{W}^{\text{VI}}\text{O}_4^-$). Согласно расчетам, преобладающей частицей железа в растворе была частица FeCl_2^0 при обеих NNO и HM кислородных буферах во всем изученном интервале концентраций KCl. Состав преобладающих комплексов вольфрама, напротив, зависел, как от $f\text{O}_2$, так и от $m\text{KCl}$.

При HM буфере содержание W(VI) составляло от 32 до 43.5 % от $m\text{W}_{\text{total}}$ в интервале $m\text{KCl}$ от 0.3 до 7.7. При низких концентрациях KCl превалировали частицы WO_3^- , HWO_4^- , $\text{H}_2\text{W}_2\text{O}_7^-$ (в порядке значимости), а в концентрированных растворах KCl доминировала частица $\text{H}_2\text{W}_2\text{O}_7^-$.

При NNO буфере, согласно расчетам, в изученном интервале $m\text{KCl}$ преобладали частицы WO_3^- и $\text{H}_2\text{W}_2\text{O}_7^-$. Содержание W(VI) в растворе увеличивалось с 12 до 34.8 % с ростом $m\text{KCl}$ с 0.3 до 5.3. Далее имело место инконгруэнтное растворение Ferb с образованием РТВ и снижение как $m\text{W}_{\text{total}}$, так и доли W(VI) в растворе.

Угол наклона $m\text{W}/m\text{K}$ при 400 °С круче, чем при 500 °С. Это указывает на то, что в растворах присутствуют частицы вольфрама, содержащие более 2-х атомов W. Наилучшее согласие экспериментальных и расчетных данных получено при введении частицы $\text{W}_5\text{O}_{16}^{3-}$ (или $\text{W}^{\text{V}}\text{W}_4^{\text{VI}}\text{O}_{16}^{3-}$) ранее предложенной в работе [Редькин, Костромин, 2010]. Согласно расчетам, доля частицы $\text{W}_5\text{O}_{16}^{3-}$ резко возрастает при $m\text{KCl} > 0.05$ достигая 99% в растворе содержащем 0.7 $m\text{KCl}$. Вместе с тем, доля W(V) составляет 20 % в частице $\text{W}_5\text{O}_{16}^{3-}$.

Особое внимание заслуживает исследование влияние температуры и минералов боковых пород на растворимость ферберита. Согласно расчетам, снижение температуры гидротермального рудоносного раствора и его взаимодействие, как с полевыми шпатами, так и с магнетитом, ведет к осаждению 99 % вольфрама. Причем, принимая во внимание высокую растворимость ферберита при 500 °С и 1000 бар в 0.1 $m\text{Cl}$ растворе ($6.5 \times 10^{-4} m\text{W}$), можно такие растворы рассматривать в качестве рудоносных.

Работа выполнена по программе ФНИ ГАН: AAAA-A18-118020590151-3.

Литература

1. Редькин А.Ф., Костромин Н.П. К вопросу о формах переноса вольфрама гидротермальными растворами // Геохимия. 2010. 10. С. 1049-1061.

2. Редькин А.Ф., Сайгэн Г.Л. Экспериментальное и термодинамическое моделирование конгруэнтного и инконгруэнтного растворения ферберита в хлоридных растворах при 400-500 °C, 200-1000 бар и буферном воздействии ассоциации Kfsp-Ms-Qtz-Ni-NiO // Тезисы докладов XIV Российского совещания по экспериментальной минералогии. Богословский Вестник. 2001. С. 197.
3. Redkin A.F. Experimental study of the behavior ore-forming components in the system WO₃- SnO₂-UO₂-H₂O at 400-500 °C, 200-1000 bars and the hematite-magnetite buffer // *Geochemistry International*. 2000. 38, Suppl. 2. P. 227-236.
4. Shvarov Yu. A suite of programs, OptimA, OptimB, OptimC, and OptimS compatible with the Unitherm database, for deriving the thermodynamic properties of aqueous species from solubility, potentiometry and spectroscopy measurements. *Appl. Geochem.* 2015. 55. P. 17-27.
5. Wood S.A., Samson I.M. The hydrothermal geochemistry of tungsten in granitoid environments: I. Relative solubilities of ferberite and scheelite as a function of *T*, *P*, pH, and *m*_{NaCl} // *Econ. Geol.* 2000. 95, 143-182.

TUNGSTEN VALANCY IN HYDROTHERMAL SOLUTIONS BY EXPERIMENTAL AND CALCULATED DATA

Redkin A.F.

Institute of experimental mineralogy (IEM) RAS, Chernogolovka,
redkin@iem.ac.ru

Ferberite dissolution in KCl solutions under pH and fO₂ buffered conditions (Qtz-Mic-Ms, and NNO or HM) at 400-500 °C proceeds as congruently as well as incongruently with accompanying potassium tungsten bronzes formation (PTB), K_xWO₃, (x=0.2-0.3).

Thermodynamic calculations shows that at *P*=100 MPa, the predominant aqueous species of tungsten in KCl-HCl solutions at fO₂=fO₂(NNO) may be W(V, VI) species: WO₃⁻, HWO₄⁻, H₂W₂O₇⁻ at 500 °C and HWO₄⁻, W₅O₁₆³⁻ at 400 °C.

The total *mW* in equilibrium with ferberite in the aluminosilicate buffered systems depends upon *mCl*, *T* and fO₂. Deposition of tungsten from ore-bearing solutions is due to interaction with wall rocks containing feldspars, and iron oxides and decrease of temperature. In the magnetite bearing system, the equilibrium tungsten concentration does not exceed 2·10⁻⁵ mol·kg⁻¹ at the temperature of 400 °C. Therefore, tungsten mobility should decrease sharply in iron-enriched rocks.